

بهینه سازی تک معیاره و چند معیاره برج خنک کن خشک هلر در نیروگاههای سیکل ترکیبی با استفاده از الگوریتم ژنتیک

حسین شکوهمند^{*}، محمدعلی نظری^۲، بابک قائم پناه^۳ و محمدرضا علیگودرزی^۴

^۱ استاد دانشکده مهندسی مکانیک - پردیس دانشکده های فنی - دانشگاه تهران

^۲ مریم دانشکده مهندسی مکانیک - پردیس دانشکده های فنی - دانشگاه تهران

^۳ دانش آموخته کارشناسی ارشد مهندسی مکانیک - پردیس دانشکده های فنی - دانشگاه تهران

^۴ دانش آموخته کارشناسی ارشد مهندسی مکانیک - دانشگاه شهری رجائی

(تاریخ دریافت، ۸۳/۹/۲۸ ، تاریخ دریافت روایت اصلاح شده، ۸۶/۲/۲۹ ، تاریخ تصویب ۸۶/۳/۱۹)

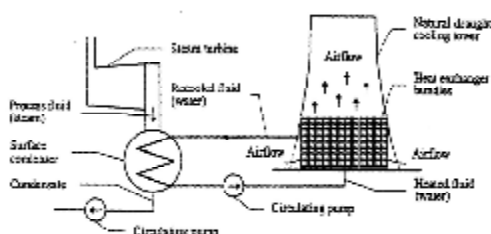
چکیده

در این مقاله طراحی، محاسبه عملکرد و بهینه سازی برج خنک کن خشک غیرمستقیم (هلر) مورد بررسی قرار گرفته است. مبدل های حرارتی در اینجا از نوع خاصی به نام فورگو T60 می باشند. این نوع برج های خنک کن در نیروگاه های سیکل بخار و ترکیبی به کار می روند. به منظور بهینه سازی برج خنک کن از دو شیوه الگوریتم ژنتیک تک معیاره و چند معیاره با هدف کاهش هزینه و افزایش راندمان استفاده شده است. از آنجایی که عملکرد سیستم خنک کن از شکل هلر بسیار وابسته است به دمای محیط و هم چنین عملکرد آنها اثری مستقیم بر میزان تولید برق چرخه قدرت دارد، در این بهینه سازی منحنی تغییرات سالانه دما و منحنی مشخصه چرخه قدرت نیز به عنوان داده های طراحی اعمال شده اند. به منظور بررسی صحت نتایج حاصل از این بهینه سازی از اطلاعات برخی از نیروگاه های در حال کار استفاده شده است که به نتایج خوبی در مقایسه با مقادیر واقعی رسیده ایم.

واژه های کلیدی : برج خنک کن خشک هلر، مبدل حرارتی فورگو، منحنی مشخصه، بهینه سازی، تابع هدف
قیمت عملکرد، الگوریتم ژنتیک تک معیاره و چند معیاره، چرخه قدرت

مقدمه

صورت می گیرد. آب خنک شده در برج و بخار خارج شده از توربین در چگالنده با هم تبادل حرارت می کنند و بخش اعظم آب گرم شده جهت خنک شدن به سیکل خنک کن بر می گردد [۱] (شکل ۱).



شکل ۱: چرخه قدرت با برج خنک کن هلر.

آب خنک کن که حرارت بخار خروجی از توربین را دریافت نموده و گرم شده است به کمک تعدادی مبدل حرارتی فشرده، حرارت جذب شده را با محیط مبادله می نماید. مبدل های حرارتی به کار رفته در این سیستم، نوع

به طور کلی به علت نیاز روز افزون به برق، صرفه جویی در مصرف آب و کاهش آلودگی های زیست محیطی امروزه توجه بیشتری به سیستم های خنک کن خشک در نیروگاه ها معطوف شده است، به ویژه در کشور ما به علت شرایط آب و هوایی عمدتاً خشک و نیمه بیابانی، و مسئله کمبود آب در اکثر نواحی کشور، این نوع برج های خنک کن از آنجایی که به صورت یک سیکل بسته کار می کنند و باعث هدر رفتن آب و ایجاد آلودگی گرمایی در محیط زیست نمی شوند بیشترین کاربرد را دارند. از طرف دیگر هزینه سرمایه گذاری این سیستم ها کسر قابل توجهی از یک نیروگاه بوده و هم چنین طراحی این سیستم ها اثری مستقیم بر بازدهی تولید نیروگاه دارد، از این رو نیاز است تا این سیستم ها هم به لحاظ اقتصادی و هم به لحاظ فنی مورد مطالعه قرار گیرد.

در این نوع سیستم خنک کن تبادل حرارت بین آب خنک کن و محیط توسط مبدل های حرارتی فشرده

۱- روابط انتقال حرارت (در مبدلها)

۲- رابطه بقا مومنتوم

۳- رابطه بقا انرژی

در انتقال حرارت بین آب درون لوله‌ها و هوای

عبوری از روی سطوح خارجی لوله‌ها و فین‌ها، سه مرحله انتقال وجود دارد، اول انتقال حرارت به صورت جا به جایی از آب به لوله، دوم انتقال حرارت هدایتی از لوله‌ها و سوم انتقال حرارت جا به جایی بین لوله‌ها و هوای پس به این ترتیب رابطه زیر برای ضریب کلی انتقال حرارت برقرار می‌باشد:

$$\frac{1}{U_{Af}} = \frac{1}{h_{w,i} A_i} + \frac{1}{\eta h_{a,f} A_f} + \frac{\delta}{KA_t} \quad (1)$$

در محاسبات انتقال حرارت برج‌های هلر مرسوم است که محاسبات بر حسب سطح جلویی مبدل حرارتی صورت گرفته و روابط به دست آمده از آزمایش‌ها نیز بر این اساس می‌باشد، بنابراین رابطه (۱) را به صورت زیر بر حسب سطح جلویی مبدل حرارتی بازنویسی می‌گردد:

$$\frac{1}{U_c(A_f/A_{fr})} = \frac{1}{h_{w,i}(A_f/A_{fr})} + \frac{1}{\eta h_{a,f}(A_f/A_{fr})} + \frac{\delta}{K(A_f/A_{fr})} \quad (2)$$

با توجه به مشخص بودن ابعاد و اندازه‌های مبدل‌های فورگو T60، برای ساده شدن روابط از فرضیات زیر استفاده می‌کنیم:

$$h_w = h_{w,i} \left(\frac{A_i}{A_{fr}} \right) \quad (3)$$

$$h_a = \frac{1}{\left[\frac{1}{\eta h_{a,f}(A_f/A_{fr})} + \frac{\delta}{K(A_f/A_{fr})} \right]} \quad (4)$$

$$U = U_c (A_f / A_{fr}) \quad (5)$$

در نتیجه:

$$U = \frac{h_w h_a}{h_w + h_a} \quad (6)$$

برای در نظر گرفتن رسوبات می‌توان ضریب انتقال حرارت کلی را به صورت زیر اصلاح کرد:

$$\frac{1}{U_{dirty}} = \frac{1}{U_{clean}} + R_f \quad (7)$$

در نتیجه:

$$U_{dirty} = \frac{U_{clean}}{U_{clean} R_f + 1} \quad (8)$$

برای مبدل‌های حرارتی نوع فورگو در سیستم‌های خنک کن خشک هلر ضریب رسوب را برابر با

خاصی از مبدل‌های حرارتی فشرده با پره‌های صفحه‌ای مشبک به نام، فورگو می‌باشد [۲]. این مبدل‌ها در اطراف پایین برج چیده می‌شوند. جریان‌ها از روی مبدل‌ها با مکش طبیعی صورت می‌گیرد.

مبدل‌های حرارتی و دلتاها

مبدل‌های حرارتی فورگو T60 که هم جنس پره و هم لوله‌های آن از آلومینیوم می‌باشد به صورت زیر استاندارد شده‌اند [۳]:

- فاصله فین‌ها از یک دیگر:

۲.۸۶ mm

۰.۳۳ mm

۱۷.۷۵ mm

۰.۷۵ mm

۱۵.۳ mm

- نسبت سطح خارجی به واقعی: پره‌ها از نوع فین‌های صفحه‌ای شیاردار بوده و آرایش لوله‌ها به صورت مثلثی می‌باشد. خصوصیات آرایش لوله‌ها به صورت زیر است:

- تعداد کل لوله‌ها:

۶ عدد (سه ردیف رفت

و سه ردیف برگشت)

- تعداد لوله‌ها در هر ردیف:

۴۰ عدد

۲۴۰۰ mm - طول مبدل‌های حرارتی:

- عرض مبدل‌های حرارتی:

۱۵۰ mm

(درجهت جریان‌ها)

ارتفاع مبدل‌های حرارتی می‌تواند ۵، ۱۰، ۱۵، ۲۰ یا ۲۵ متر باشد که از روی هم قرار گرفتن تعدادی مبدل ۵ متری به وجود می‌آیند. هر دو مبدل حرارتی توسط یک قاب فلزی با زاویه خاصی در کنار یکدیگر قرار می‌گیرند و تشکیل یک دلتا می‌دهند. هر دلتا دارای یک کرکره قابل تنظیم است که به صورت مکانیکی، جریان هوای عبوری از مبدل‌های حرارتی را کنترل می‌نماید. وجود شیارهای روی پره‌های این مبدل‌ها مانع از توسعه لایه مرزی می‌شود و در نتیجه باعث افزایش مقدار متostط ضریب انتقال حرارت جا به جایی در طول پره در سمت هوا می‌گردد [۴].

روابط حاکم بر طراحی برج خنک کن خشک هلر

روابط حاکم به سه دسته زیر تقسیم می‌شوند:

$$\frac{1}{\sqrt{f_{Smooth}}} = 2 \log_{10} \text{Re} \sqrt{f_{Smooth}} - 0.8 \quad (17)$$

و برای f_{Rough} داریم [۸]:

$$\frac{1}{\sqrt{f_{Rough}}} = -2 \log_{10} \left(\frac{\varepsilon/D}{3.1} + \frac{2.51}{\text{Re} \sqrt{f_{Rough}}} \right) \quad (18)$$

که با استفاده از روش های سعی و خطا این معادله حل می شود. محاسبه ضریب انتقال حرارت در سمت هوا را با توجه به پیچیدگی هندسه حاکم نمی توان به صورت تحلیلی مانند سمت آب انجام داد و لذا باید از روش های عددی و یا آزمایش استفاده نمود. رابطه به دست آمده از آزمایش تونل باد این مبدل ها به صورت زیر می باشد [۹]:

$$h_a = 1180 \left[\frac{\dot{m}_a}{A_f} \left(\frac{\rho_{oa}}{\rho_{am}} \right)^{0.64} \right]^{0.515} \quad (19)$$

برای محاسبه میزان حرارت دفع شده از هر ستون از روش بازده NTU-ε استفاده شده است. البته این یک مسئله معمول محاسبه عملکرد نیست چرا که همان طور که در محاسبه ضرایب انتقال حرارت سمت آب و هوا ملاحظه شد این روابط براساس دمای میانگین آب و هوا به دست آمده اند و وابسته به شرایط خروج می باشد و تنها با شروع از شرایط ورود نمی توانیم به جواب برسیم و نیاز است تا با حدسی اولیه برای یکی از دماهای خروجی شروع نماییم و با تکرار حل، حدس اولیه را هم اصلاح کنیم. مشخصه بدون بعد تعداد واحد های انتقال (NTU) به صورت زیر تعریف می گردد:

$$NTU = \frac{UA_f}{C_{min}} \quad (20)$$

مشخصه بازده تابعی است از NTU، نسبت ظرفیت های گرمایی و نوع جریان دو سیال نسبت به هم که در اینجا نوع جریان، متعامد^۱ می باشد. با به دست آمدن ε، میزان انتقال حرارت از رابطه زیر به دست می آید [۱۰]:

$$\dot{Q} = C_{min} ITD \varepsilon \quad (21)$$

برای محاسبه ε می توان از جدول مربوط به این نوع جریان بر حسب NTU و C_{min}/C_{max} و یا از رابطه مربوط به جریان های متقطع^۲ به همراه ضریب تصحیح استفاده نمود [۱۰]:

$$\varepsilon = \frac{1 - \exp \left[\left(\frac{W_a}{W_w} - 1 \right) NTU \right]}{1 - \frac{W_a}{W_w} \exp \left[\left(\frac{W_a}{W_w} - 1 \right) NTU \right]} K_c \quad (22)$$

از رابطه زیر تعداد دلتاهای به دست می آید:

$$\frac{m^2 C}{W} 0.00009 \text{ در نظر می گیرند } [۳]. \text{ برای جریان}$$

کاملاً مغلوش در داخل لوله های صاف با $0.6 < \text{Pr} < 100$ و در حالتی که اختلاف درجه حرارت بین سیال و دیواره لوله زیاد نباشد می توان رابطه زیر را برای محاسبه عدد نوسلت به کار برد [۵]:

$$NU_D = 0.023 \text{ Re}_D^{0.8} \times \text{Pr}^{0.3} \quad (9)$$

و با جایگزینی برای عدد نوسلت و رینولدز داریم:

$$h_w = \frac{0.023 Q^{0.8}}{D \left(\frac{\pi D}{4} \right)^{0.8}} \left(\frac{\rho}{\mu} \right)^{0.8} \times \text{Pr}^{-0.3} \times K_w \quad (10)$$

مشخصه K_m را به صورت زیر تعریف می کنیم:

$$K_m = \left(\frac{\rho}{\mu} \right)^{0.8} \times \text{Pr}^{-0.3} \times K_w \quad (11)$$

ملاحظه می شود که K_m فقط با خواص سیال رابطه دارد. با فرض این که آب در حالت اشباع باشد می توان خواص آب را در محدوده درجه حرارت های موجود به دست آورد [۶]. بین K_m با T_w با تقریب خوبی رابطه ای خطی برقرار است که عبارت است از :

$$K_m = 1.075 T_w + 63.1 \quad (12)$$

برای به دست آوردن ضریب انتقال حرارت متوسط در سمت آب درجه حرارت متوسط ورود و خروج آب را در نظر می گیریم.

$$\overline{K_m} = \frac{K_{mi} + K_{mo}}{2} = 0.5375 (T_{wi} + T_{wo}) + 63.1 \quad (13)$$

با جاگذاری به جای K_m و مشخصه های معلوم در رابطه (۱۰) و تبدیل بر اساس واحد سطح جلوبی داریم:

$$\overline{h_w} = [314.22 + 2.676 (T_{wi} + T_{wo})] Q^{0.8} \quad (14)$$

این رابطه برای لوله های صاف معتبر است برای آنکه رابطه از صحت بیشتری برخوردار باشد باید زیری را هم در نظر بگیریم. برای این کار از رابطه تشابه چیلتون-کولبرن استفاده می نمائیم [۵].

$$St \times \text{Pr}^{2/3} = \frac{Cf}{2} = \frac{f}{8} \quad (15)$$

که $St = \frac{NU}{\text{Re}_D \times \text{Pr}}$ به این ترتیب برای لوله زیر داریم:

$$h_{w,Rough} = \frac{f_{Rough}}{f_{Smooth}} h_{w,Smooth} \quad (16)$$

که f_{Smooth} و f_{Rough} را می توان با داشتن عدد رینولدز از دیاگرام مودی استفاده و یا از روابط زیر به دست آورد [۷]:

است. افت فشار در دهانه خروجی از رابطه زیر قابل محاسبه می باشد [۴] :

$$\Delta P_e = \frac{1}{2} \rho_{a,o} V_e^2 \quad (30)$$

که

$$V_e = \frac{8 N_d \dot{m} a}{\pi D^2 \rho_{a,o}} \quad (31)$$

برای محاسبه افت فشار مربوط به تغییر ارتفاع در داخل برج ابتدا از رابطه زیر دمای هر نقطه بر حسب ارتفاع نسبت به نقطه مرجع بدست می آید. [۸]

$$T_{a_z} = T_{a_l} - 0.00975 Z \quad (32)$$

در نتیجه :

$$T_{a_e} = T_{a_o} - 0.00975 \left(H - \frac{H_d}{2} \right)$$

برای تغییرات فشار بر حسب تغییرات ارتفاع داریم:

$$dP_a = -\rho_a g dz \quad (33)$$

و با در نظر گرفتن هوا به صورت گاز کامل داریم:

$$\rho_a = \frac{P_a}{RT_a} \quad (34)$$

با جای گزینی روابط (۳۲) و (۳۳) در (۳۴) و انتگرال گیری برای اختلاف فشار بین نقطه خروجی از مبدل های حرارتی تا خروجی برج به دست می آید:

$$\Delta P_{a,eo} = P_{a_o} - P_{a_e} = P_{a_o} \left\{ 1 - \left[1 - 0.00975 \left(H - \frac{H_d}{2} \right) / T_{a_o} \right]^{3.5} \right\} \quad (35)$$

پتانسیل مکشی را که ارتفاع برج و تفاضل چگالی هوای ورودی و خروجی از مبدل ایجاد می نماید باید با مجموع افتهای برابر گردد:

$$\Delta \rho_a H_m g = \Delta P_t \quad (36)$$

که :

$$H_m = H - \frac{H_d}{2}$$

$$\Delta P_t = \Delta P_{a,l} + \Delta P_{a,d} + \Delta P_{a,e} + \Delta P_{a,eo} \quad (37)$$

روابط حاکم بر بقا انرژی

با صرف نظر از اتفاقات حرارتی در لوله کشی ها و مسیر انتقال آب از چگالنده به برج، حرارت دفع شده از بخار به آب خنک کن در چگالنده برابر است با حرارت دفع شده از آب خنک کن در برج که برابر با حرارت جذب شده توسط هوای گذرنده از برج می باشد. در نتیجه :

$$\dot{Q}_c = \dot{m}_{w,t} C_p w \Delta T_w = \dot{m}_{a,t} C_p a \Delta T_a \quad (38)$$

$$N_d = \frac{\dot{Q}_t}{2 \dot{Q}} \quad (23)$$

که \dot{Q} مورد استفاده در آن از رابطه (۲۱) به دست می آید. با داشتن تعداد دلتاها قطر پایه برج از رابطه زیر به دست می آید:

$$D_1 = 2 \times W_C \sqrt{\frac{1 - \cos \alpha_d}{1 - \cos \beta}} \quad (24)$$

روابط حاکم بر افت فشار (مومنتوم)

ارتفاع بهینه برج جایی است که مکش طبیعی با مجموع افت فشارهای سمت هوا به یک موازنہ برسد. افت فشارهای قابل توجه در سمت هوا سه بخش هستند. اولین افت مربوط به عبور هوا از کرکره ها می باشد $(\Delta P_{a,l})$ که در جلوی دلتاها نصب می شوند دومین افت فشار مربوط به گذر هوا از دلتاها می باشد $(\Delta P_{a,d})$ و سومین عامل اصلی افت فشاری است که در دهانه خروجی برج ایجاد می شود $(\Delta P_{a,e})$. در قسمت تنوره برج، یعنی بعد از مبدل ها تا دهانه خروجی عملأً جریان هوا به صورت آیزنترووبیک می باشد [۸] و از تغییرات انرژی جنبشی در این بخش در مقابل تغییرات انرژی پتانسیل آن می توان صرف نظر نمود [۸]. در نتیجه افت فشار مربوط به اصطکاک دیواره را منظور نکرده اما با تغییر ارتفاع اختلاف فشار آن را در نظر می گیریم. روابط مربوط به افت فشارهای کرکره ها و دلتاها از آزمایش تونل باد به صورت زیر به دست آمداند: [۴]

$$\Delta P_{a,l} = 0.00137 \dot{m} a^2 \left[\frac{1}{\sin^2 \left(\frac{\alpha_d}{2} \right)} \right] \quad (25)$$

که :

$$\dot{m} a^2 = \dot{m} a_1 C_K^{0.5} \quad (26)$$

و :

$$\dot{m}_{a1} = \frac{\dot{m}_a}{A_f} \quad (27)$$

$$C_k = \frac{\rho_{oa}}{\rho_m} \quad (28)$$

برای افت فشار دلتاها هم رابطه زیر پیشنهاد می شود:

$$\Delta P_{a,d} = \left[0.174 + 0.007 \left(\frac{1}{\sin^2 (\alpha_d/2)} - 1 \right) \right] \dot{m} a_3 \quad (29)$$

در رابطه (۲۹)، ۱۰٪ ضریب اطمینان منظور شده

$$F_1 = F_{(T_c)} - 2N_d C_{\min} \varepsilon ITD \quad (الف)$$

$$F_2 = \Delta P_d + \Delta P_l + \Delta P_e - \Delta P_a H_m \quad (ب)$$

$$F_3 = F_{(T_c)} - 2N_d \dot{m}_a C p_a \Delta T_a \quad (ج)$$

و دستگاه معادلات (۳۱) به صورت زیر در می‌آید:

$$F_1(\dot{m}_a, \Delta T_a, T_c) = 0 \quad (الف)$$

$$F_2(\dot{m}_a, \Delta T_a, T_c) = 0 \quad (ب)$$

$$F_3(\dot{m}_a, \Delta T_a, T_c) = 0 \quad (ج)$$

معادلات (۴۴) که تشکیل یک دستگاه معادلات غیرخطی را می‌دهند توسط روش نیوتون-رافسون قابل حل همگرا شدن روش نیوتون-رافسون بسیار وابسته می‌باشد به حدس اولیه بوده و اگر حدس اولیه نامناسب باشد ممکن است به جواب منتهی نگردد. راه حل دیگری که در اینجا می‌توان استفاده کرد و فقط به خاطر رفتار معادلات حاکم در این مسئله خاص می‌باشد این است که ابتدا با یک حدس اولیه برای دمای چگالنده T_c از معادله F_3 را بر حسب \dot{m}_a به دست آوریم آنگاه معادله F_2 را با روش-های ریشه یابی عددی حل نماییم تا \dot{m}_a به دست آید، یعنی با این کار F_2 عملاً معادله‌ای تنها با یک متغیر می‌باشد. پس از به دست آمدن \dot{m}_a را برابر $F_1=0$ برقرار مقداری جدید به دست آمده می‌آزماییم اگر $F_1=0$ برقرار باشد که به جواب رسیده‌ایم و الا باید حدس جدیدی برای اینجا را ترغیب به این شیوه می‌نماییم اگر $F_1 \neq 0$ برقرار باشد که حل یک دستگاه معادلات نبوده و تنها علتی که در اینجا ما را ترغیب به این شیوه می‌نماید رفتار این معادلات نسبت به متغیرهای مستقل بوده و این که در معادله F_3 ، متغیرهای ΔT_a و \dot{m}_a به طور صریح بر حسب یک دیگر قابل بیان می‌باشد. دقیقاً هم باید به همین شیوه یعنی از حدس اولیه برای T_c شروع کرد و ابتدا F_2 حل شود. به این دلیل که اولاً معادله F_2 نسبت به تغییرات T_c خیلی حساس نبوده ولیکن نسبت به تغییر \dot{m}_a حساس می‌باشد. ثانیاً با داشتن T_c از معادله F_3 به راحتی ΔT_a به صورت صریح بر حسب \dot{m}_a تعریف می‌شود. که این مقدار در معادله F_1 جای گزین می‌گردد، حسن این شیوه این است که مانند روش نیوتون رافسون همگرایی به حدس اولیه وابسته نبوده و به ازای هر T_c حتماً به جواب می‌رسد که بسته به اراضی دو معادله دیگر صحت جواب به دست می‌آید و در عمل پس از ۳ یا ۴ بار

که براساس تعداد دلتاها و دبی گذرنده از هر ستون داریم:

$$\dot{Q}_C = 2N_d \dot{m}_w C p_w \Delta T_w = 2N_d \dot{m}_a C p_a \Delta T_a \quad (۴۹)$$

در روابط فوق مجھولات عبارتند از:

$$N_d, D_2, D_1, H_d, \alpha_d, H, \dot{m}_w, \dot{m}_a \quad (۴۰)$$

که متغیرهای مستقل هستند ولی N_d و D_1 از روی آنها به دست می‌آید، و معلومات این دستگاه نیز عبارت است از: T_{a_i} و \dot{Q}_C . در روند طراحی برج، دمای محیط به عنوان یکی از معلومات مسئله می‌باشد و سیستم خنک کن براساس آن طراحی می‌گردد. اما در عمل به هنگام بهره‌برداری در طول سال با تغییرات دمایی زیادی روبه رو هستیم که اثر مستقیمی بر عملکرد برج دارد از این رو نیاز است تا پس از طراحی یک برج، عملکرد آن با توجه به تغییرات دمای هوا در طول سال هم محاسبه شود. از طرفی نکته دیگری که باید به آن توجه شود این است که با تغییر دمای محیط فشار چگالنده که فشار پشت توربین می‌باشد نیز تغییر می‌کند و باعث تغییر در کار خروجی از توربین و در نتیجه میزان دفع حرارتی که باید از چگالنده صورت گیرد، می‌شود. به همین دلیل در محاسبه عملکرد سیستم خنک کن نمی‌توان آن را به طور مستقل در نظر گرفت و باید ارتباط آن را با چرخه قدرت نیز منظور نمود که با وارد کردن منحنی مشخصه توربین در محاسبات این ارتباط برقرار می‌شود. اکنون در این جا فرض بر این است برج خنک کن طراحی شده و ابعاد و تعداد دلتاهای و دبی آب خنک کن آن مشخص شده است. حال می‌بینیم دفع دمایی مختلف محاسبه کنیم که این برج چه میزان دفع حرارت دارد. پس روابط زیر را که به دست آوردیم در نظر می‌گیریم:

$$\begin{cases} \dot{Q}_C - 2N_d C_{\min} \varepsilon ITD = 0 \\ \Delta P_d + \Delta P_l + \Delta P_e - \Delta P_a H_m = 0 \\ \dot{Q}_C - 2N_d \dot{m}_a C p_a \Delta T_a = 0 \end{cases} \quad (۴۱)$$

حرارت دفع شده از چگالنده تابعی است از دمای آن که از روی منحنی مشخصه توربین به دست می‌آید پس می‌توان در نظر گرفت که:

$$\dot{Q}_C = F(T_c) \quad (۴۲)$$

به سادگی قابل نشان دادن است که همه معادلات (۴۱) را می‌توان توابعی بر حسب سه متغیر مستقل \dot{m}_a ، ΔT_a و T_c در نظر گرفت و با نشان دادن معادلات به ترتیب با F_1 ، F_2 و F_3 داریم:

$$W_{net} = \sum_{i=1}^n (\dot{W}_{Tur.} - \dot{W}_{Pump})_i T_i \quad (45)$$

بهینه سازی با الگوریتم ژنتیک

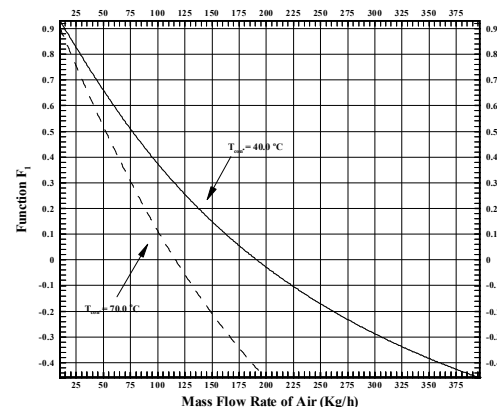
بهینه سازی برج با روش های کلاسیک در [۱۱] و [۱۲] انجام شده است. به علت تعداد زیاد متغیرها و روابط غیرخطی حاکم بر این معادلات دلیلی بر حداقل مطلق جواب های به دست آمده وجود ندارد و تنها به حداقل موضعی بسته شده است. برای حصول حداقل مطلق برج خنک کن از الگوریتم ژنتیک استفاده شده است [۱۳] و [۱۴]. طرح کلی این روش به این صورت است که جمعیتی از متغیرهای طراحی به صورت باینری و تصادفی ایجاد می کنیم که هر عضو جمعیت یک رشته باینری می باشد که مقادیر مربوط به همه متغیرهای طراحی را در خود دارد و با رمز گشایی کردن آن مقادیر حقيقی آنها به دست می آیند. سپس به ازای هر عضو جمعیت تابع هدف و میزان نقص قیود حاکم بر طراحی محاسبه می شوند و از ترکیب آنها برآزندگی هر عضو به دست می آید. از این جمعیت با احتمال متناسب با برآزندگی اعضا و با استفاده از زیر روال های خاص الگوریتم ژنتیک به منظور ترکیب رشته ها و ایجاد جهش در اعضا جهت خارج شدن از نقاط اکسترم محلی جمعیت جدیدی تشکیل می شود و این روند تکرار گردیده تا جمعیت هایی با برآزندگی بالاتر به دست آید و در نهایت برآزندگه ترین عضو آخرین جمعیت به عنوان جواب برگزیده می شود. در استفاده از الگوریتم ژنتیک مشخصه های تعداد اعضای یک جمعیت، تعداد نسل ها جهت تکرار محاسبات، احتمال تولید مثل اعضا و احتمال جهش مشخصه هایی هستند که باید جهت همگرایی الگوریتم تنظیم گردد.

عوامل بهینه سازی

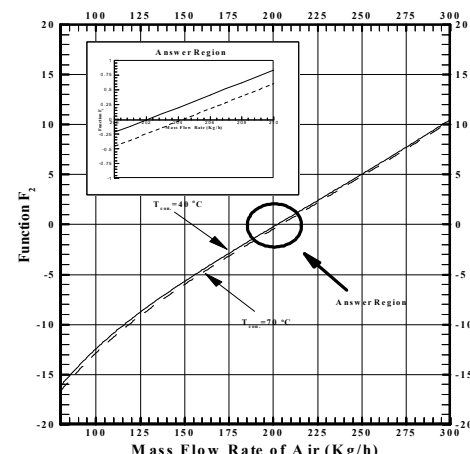
مجهولات مربوط به برج خنک کن خشک که در اینجا هدف تعیین مقادیر بهینه آنها می باشد عبارتند از :

ΔT_w	اختلاف دمای آب در ورود و خروج از برج
a_d	زاویه بین دلتاهای:
H_d	ارتفاع دلتاهای:
\dot{m}_w	دبی آب خنک کن:
\dot{m}_a	دبی هوای گذرنده از برج
D_2	قطر دهانه خروجی:
H	ارتفاع برج:
N_d	تعداد دلتاهای:
D_l	قطر پایه برج

تکرار دسترسی به جواب ممکن می گردد ضمن اینکه از قابلیت اطمینان بالایی در همگرا شدن نسبت به روش نیوتون رافسون برخوردار است. منحنی تغییرات F_1 و F_2 بر حسب \dot{m}_a در اشکال (۲) و (۳) به ازای دو دمای T_c نشان داده شده است.



شکل ۲: منحنی تابع F_1 بر حسب دبی هوا و دمای چگالنده.



شکل ۳: منحنی تابع F_2 بر حسب دبی هوا و دمای چگالنده.

به این ترتیب به ازای هر نقطه از دمای محیط، دمای متناظر چگالنده به دست می آید، و از روی منحنی مشخصه توربین با داشتن دمای چگالنده T_c یا حرارت دفع شونده از چگالنده که معادل حرارت دفع شده از برج است به دست می آید. از طرفی با داشتن دمای کندانسور متناظر با هر دمای محیطی کار توربین هم به دست می آید، که اگر کار پمپ های گردش آب را از آنها کسر نمائیم کار خالص خروجی به ازای هر دمای محیط طول یک سال، می توان کل کار خالص خروجی توربین را به صورت زیر به دست آورد:

$$X = 0.6218 P_S \times \frac{RH}{(P_a - P_s)}$$

$$P_1 = \left[\frac{(1 + X) P_a \times 10^{-6}}{(2927 + 4707 X)(273.15 + T_{a1})} \right]$$

$$T_{a2} = T_{a1} + \Delta T_2$$

$$\rho_2 = (1+X) P_a \times 10 / (2927 + 4707X)(273.15 + T_{a2})$$

$$\Delta \rho = \rho_1 - \rho_2$$

$$C_k = \frac{\rho_0}{\rho_1 - \frac{\Delta \rho}{2}}$$

$$M = \frac{H_d}{5}$$

$$\dot{m}'_a = \frac{\dot{m}_a C_k^{0.64}}{M \cdot F_h}$$

$$h_a = 1180 \cdot \dot{m}'_a^{0.515}$$

$$ITD = ITD_{ov} + \Delta T_w (1 - \frac{1}{Z})$$

$$\bar{T}_w = T_{a1} + ITD - \frac{\Delta T_w}{2}$$

$$h_w = (319 + 5067 \bar{T}_w) \dot{m}_w^{0.8}$$

$$U = \frac{\alpha_w \alpha_a M F_h}{\alpha_w + \alpha_a}$$

$$Q_0 = W_a ITD \varepsilon$$

$$\Delta T_w = \frac{Q_0}{W_w}$$

(47)

و قید مساوی مربوط به ارتفاع به صورت زیر می باشد:

$$h_2 = (\rho_1 - \rho m_{23})g(H - H_{d/2}) - \Delta P_{total} = 0$$

(48)

که:

$$\rho m_{23} = \frac{\int_{H_{d/2}}^H \rho(h) dh}{H - H_{d/2}}$$

(49)

$$\rho_{(h)} = \frac{P_{(h)}}{RT_{(h)}} \quad P_{(h)} = P_2 \left(1 - 0.00975 \frac{h}{T_2} \right)^{3/5}$$

$$T_{(h)} = T_2 - 0.00975h$$

(50)

تابع هدف

محاسبه قیمت برج خنک کن خشک هلر
قیمت برج خنک کن خشک هلر از سه بخش
عمده سازه، مبدل های حرارتی (دلتها) و توربوماشین ها

که از این مجھولات N_d و D_1 بر حسب بقیه قابل محاسبه بوده یعنی ۷ مجھول مستقل و ۲ مجھول وابسته داریم.

قیود حاکم بر طراحی

قیدهای حاکم بر بهینه سازی برج شامل ۹ قید نامساوی و ۲ قید مساوی می باشد. که یک قید مساوی مربوط به متغیر ΔT_w می باشد که نوشتند آن به صورت صریح بر حسب سایر مشخصه ها پیچیده می شود، از این رو به صورت مجموعه ای از روابط نوشته شده است.
قیود نامساوی در طراحی عبارتند از [۱۲]:

$$1) g_1 = H_d - 0.15 H \leq 0$$

$$2) g_2 = 0.05 H - H_d \leq 0$$

$$3) g_3 = D_1 - 1.77 D_2 \leq 0$$

$$4) g_4 = 1.37 D_2 - D_1 \leq 0$$

$$5) g_5 = D_1 - 1.13 (H - H_d) \leq 0$$

$$6) g_6 = 0.64 (H - H_d) - D_1 \leq 0$$

$$7) g_7 = \left(\frac{\dot{m}}{D_2} \right)^2 - 3.05 P_2 (P_\infty - P_2) g D_2 \leq 0$$

$$8) g_8 = 4 \dot{m}_w - 3 \rho_w N_p \times \pi d p^2 \leq 0$$

$$9) g_9 = \rho_w N_p \pi d^2 p - 4 \dot{m}_w \leq 0$$

(46)

که قیود ۱ تا ۶ مربوط به نسبت های هندسی برج جهت استحکام سازهای می باشند [۱۲] و قید ۷ مربوط به توزیع یک نواخت و خروج مناسب هوا از دهانه خروجی می باشد [۱۲]، و قیود ۸ و ۹ مربوط به سرعت مجاز آب در لوله های مبدل های حرارتی می باشند که بین ۱ تا ۳ متر بر ثانیه در نظر گرفته شده است.

قید مساوی مربوط به ΔT_w به صورت حل تکراری از روابط زیر به دست می آید:

$$W_a = C p_a \dot{m}_a$$

$$W_w = C p_w \dot{m}_w$$

$$\Delta T_a = \frac{W_w}{W_a} \cdot \Delta T_w$$

$$P_B = 760 \cdot (1 - 0.0000226 S)^{5.25}$$

$$P_a = \frac{P_B}{735}$$

$$P_S = \exp \left[\frac{((T_{a1} - 20) \times 0.9 - 268) (T_{a1} - 10)}{+ 69770) T_{a1} - 5079000} \times 10^{-6} \right]$$

$$H_{cw} = 4 \times z + (2.5M + 1)(E + 1) + \Delta P_f \quad (60)$$

: که

$$M = \frac{H_d}{5}$$

مقدار افت فشار در ستون خنک کننده ΔP_f

می‌باشد که از رابطه زیر تخمین زده می‌شود [۳]:

$$\Delta P_f = (1.28 + 0.92M)\dot{m}_w^2 \quad (61)$$

که در رابطه اخیر \dot{m}_w بر حسب t/h می‌باشد.

در نهایت با تقسیم رابطه (۴۳) بر (۴۲)تابع هدف به

صورت زیر تعریف می‌شود:

$$F_{Obj.} = \frac{E_n}{Co_{total/year}} \quad (62)$$

که با این تعریف هدف حداکثر کردن F_{Obj} می‌باشد.

در این تعریف تابع هدف، تنها بخشی است که از لحاظ عملی از دقت کافی برخوردار نمی‌باشد محاسبه قیمت مربوط به پمپ‌ها بوده و براساس پیشنهاد مراجع [۴] و [۱۲]، برای محاسبه قیمت آن رابطه زیر هم پیشنهاد شده است:

$$Co_{Pump} = B\dot{m}_w^\alpha \quad (63)$$

که مقادیر B و α مشخص نشده‌اند و به طور تجربی باید به دست آیند. اگر از رابطه (۱۴) در محاسبه قیمت کل استفاده کنیم داریم:

$$Co_{total} = Co_{ct} + Co_{delta} + B\dot{m}_w^\alpha \quad (64)$$

که این رابطه کاملاً به ضریب B و توان α وابسته می‌باشد. حال اگر قیمت را به دو بخش جداگانه تقسیم کنیم خواهیم داشت:

$$\begin{cases} Co_{ct/delta} = Co_{ct} + Co_{delta} \\ Co_{Pump} = B\dot{m}_w^\alpha = F(\dot{m}_w) \end{cases} \quad (65)$$

در بخش اول تخمین قیمت با روابط داده شده است و برای بخش دوم نتیجه می‌شود که:

$$C\rho_{Pump} \alpha \dot{m}_w \quad (66)$$

یعنی دیگر احتیاجی به داشتن مقادیر دقیق مشخصه‌های α و B نمی‌باشد و ظرفیت پمپ را می‌توانیم به عنوان شاخصی از قیمت آن در نظر بگیریم و با در نظر گرفتن تابع عملکرد دو تابع هدف را به صورت زیر تعریف می‌نماییم:

تشکیل شده است.

محاسبه قیمت سازه

قیمت بدنه بتُنی برج از رابطه زیر به دست می‌آید [۴].

$$C_{ct} = 1.0005 V_{ct} \cdot C_{ctc} \quad (51)$$

$$V_{ct} = 0.5\delta\pi \left[\frac{(H_{ct} - H_t)(D_t^2 + D_D + 2\delta)}{(H_t - H_d)(D_t + D_b + 2\delta)} \right] \quad (52)$$

$$H_t - H_d = 0.75(H_{ct} - H_d) \quad (53)$$

و بین D_t ، قطر گلوگاه، و دهانه خروجی رابطه زیر برقرار است [۱۱]:

$$D_D = 1.05 D_t \quad (54)$$

محاسبه قیمت دلتاها

براساس رابطه پیشنهاد شده توسط مرجع [۴] قیمت کل N_d واحد دلتا به همراه پایه‌های نگهدارنده و لورهای آن از رابطه زیر بر حسب ارتفاع دلتا به دست می‌آید که واحد آن دلار می‌باشد [۲].

$$Co_{delta} = 1.011(2198.3H_d + 947.1)N_d \quad (55)$$

محاسبه قیمت پمپ‌ها

به صورت رابطه ای تجربی داریم [۴]:

$$Co_{pump} = 0.02 \times 1.0175(Co_{delta} + Co_{ct}) \quad (56)$$

در نتیجه قیمت عمدۀ برج خنک کن هلر به صورت زیر به دست می‌آید:

$$Co_{total} = Co_{ct} + Co_{delta} + Co_{pump} \quad (57)$$

و با در نظر گرفتن عمر مفید نیروگاه، n ، و ضریب بهره η ، هزینه سرمایه‌گذاری سالانه به صورت زیر به دست می‌آید.

$$Co_{tot/year} = (Co_{ct} + Co_{delta} + Co_{Pump}) \frac{i(i+1)^n}{(i+1)^n - 1} \quad (58)$$

محاسبه عملکرد

محاسبه عملکرد را در واقع میزان انرژی تولید شده خالص در یک سال را در نظر می‌گیریم و با رابطه زیر آن را به صورت کمی بیان می‌کنیم:

$$E_n = \sum_i (P_{tur}^{(Ti)} - P_{cooling}^{(Ti)}) t(Ti) \quad (59)$$

$$P_{cooling} = \frac{gH_{cw}\dot{m}_w}{\eta_P}$$

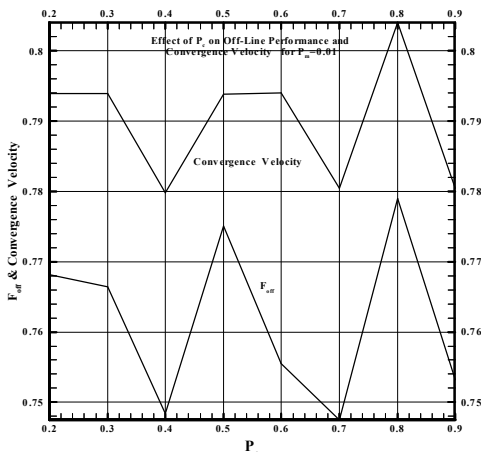
برای هد پمپ، H_{cw} داریم [۳]:

$$\begin{aligned} 30 \leq \dot{m}_a &\leq 300 \\ H_d \in \{10, 15, 20, 25\} \\ 50 \leq D_1 &\leq 200 \\ 20 \leq D_2 &\leq 100 \\ 80 \leq H &\leq 200 \\ 25 \leq \alpha_d &\leq 70 \end{aligned} \quad (71)$$

جهت انتخاب مقدار مناسب P_c ، P_m و N_p به شیوه سعی و خطأ عمل شده است. در حقیقت این مشخصه ها خود به کمک الگوریتم ژنیک دیگری بهینه شده اند (الگوریتم Meta_GA [۲۰] و [۲۱]). برای بررسی صحت برنامه بهینه سازی برج از اطلاعات موجود چند نیروگاه در حال کار استفاده شده است.

نتایج به دست آمده از اجرای برنامه بهینه-سازی برج خنک کن برای نیروگاه اصفهان

الف - یک تابع هدف
در نمودارهای زیر (اشکال ۴ و ۵) عملکرد این برنامه براساس مقادیر مختلف P_c و P_m نشان داده شده است و مقادیر ۰.۸ و ۰.۰۱ به ترتیب برای آنها انتخاب شده است.



شکل ۴: اثر P_c بر عملکرد الگوریتم ژنیک به ازای $P_m = 0.01$

به منظور بررسی محاسبه عملکرد برنامه منحنی های مشخصه چرخه قدرت (جدول ۲ و منحنی برآش یافته آن (شکل ۷)) و تغییرات دمایی سالانه نیروگاه اصفهان (جدول ۳ و منحنی برآش یافته آن (شکل ۸)) به برنامه داده شده اند و در نهایت در جدول (۴) نتایج حاصل از این بهینه سازی ارائه شده اند.

$$\begin{cases} F_{1obj} = \frac{E_n}{\dot{m}_w} \\ F_{2obj} = \frac{E_n}{Co_{ct,delta}} \end{cases} \quad (67)$$

لازم به ذکر است اگر چه بیشینه سازی این دو تابع هدف به یک نقطه منجر می شود اما این به معنی کاهش هزینه های کل نبوده اما با در دست داشتن جبهه پرتو به کمک نقاط همسایگی نقطه نهایی می توان با توجه به اطلاعات سازندگان پمپ های موجود هزینه کل را کاهش داد.

به منظور جرمیمه کردن این دو تابع هدف میزان نقص قیود (جریمه) را به نسبت آنها تقسیم می کنیم یعنی:

$$\begin{cases} F_{1fitness} = F_{1Obj.} + K_1 F_{1penalty} \\ F_{2fitness} = F_{2Obj.} + K_2 F_{2penalty} \end{cases} \quad (68)$$

: که

$$\begin{cases} K_1 = \frac{F_{1obj}}{F_{1obj} + F_{2obj}} \\ K_2 = \frac{F_{2obj}}{F_{1obj} + F_{2obj}} \end{cases} \quad (69)$$

بدیهی است که در این حالت که با دو تابع هدف رو به رو می باشیم در نهایت به یک نقطه بهینه مطلق نرسیده و یک دسته جواب که هیچ یک بر دیگری برتری ندارد به دست می آید [۱۵-۱۷].

برنامه بهینه سازی سیستم خنک کن

جهت بهینه سازی سیستم خنک کن هلو دو برنامه با زبان فرترن PowerStation بر اساس الگوریتم ژنیک تک معیاره و دو معیاره ([۱۸] و [۱۹]) نوشته شده است. برای آن که یک الگوریتم ژنیک ما را به جواب برساند نیاز است تا مشخصه های مربوط به آن تنظیم شوند که این تنظیمات در زیر آمده اند.

$$P_c = 0.8$$

$$P_m = 0.01$$

$$Population = 80$$

$$Generation = 400$$

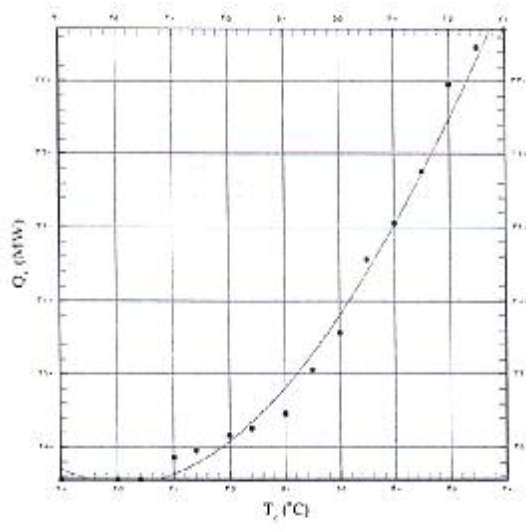
$$= 0.001$$

(۷۰)

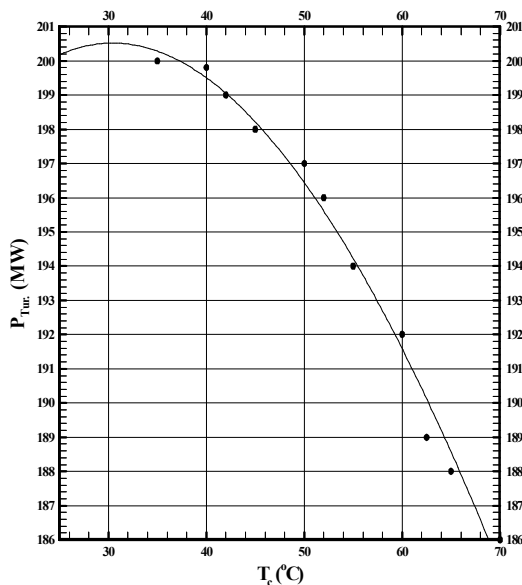
و محدوده تغییرات متغیرها :

$$30 \leq \dot{m}_w \leq 300$$

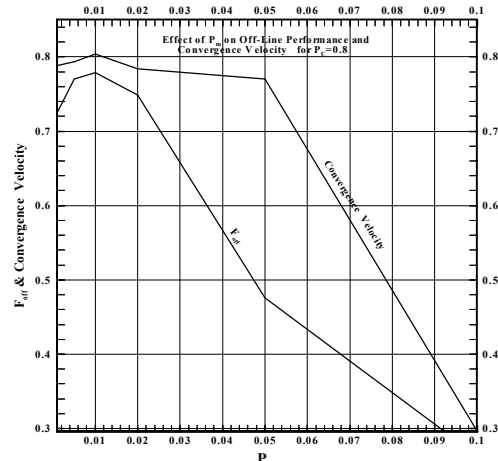
ادامه جدول ۳	
۱۹۷	۵۰
۱۹۵	۵۲
۱۹۴	۵۴
۱۹۲	۶۰
۱۸۹	۶۲
۱۸۸	۶۵
۱۸۶	۷۰



شکل ۶: تغییرات حرارت دفع شونده بر حسب دمای چگالنده.



شکل ۷: تغییرات کار مفید توربین بر حسب دمای چگالنده.

شکل ۵: اثر P_m بر عملکرد الگوریتم ژنتیک به ازای $P_c=0.8$.

جدول ۱: داده‌های طراحی نیروگاه اصفهان.

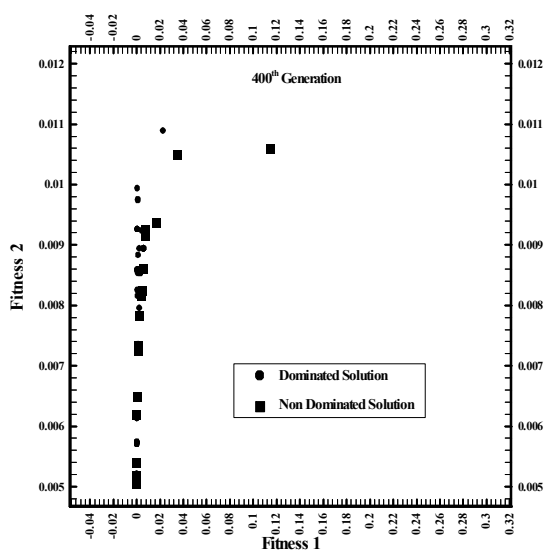
مقدار	واحد	شرایط طراحی
۴۶	درجه	دمای چگالنده و آب ورودی
۱۶.۱	درجه	دمای طراحی محیط
۰.۱	_____	رطوبت نسبی طراحی
۱۵۹۰	متر	ارتفاع سایت از سطح دریا
۲۷۵.۵۸۱۴	مگاوات	حرارت دفع شونده

جدول ۲: تغییرات سالیانه دما بر حسب ساعت.

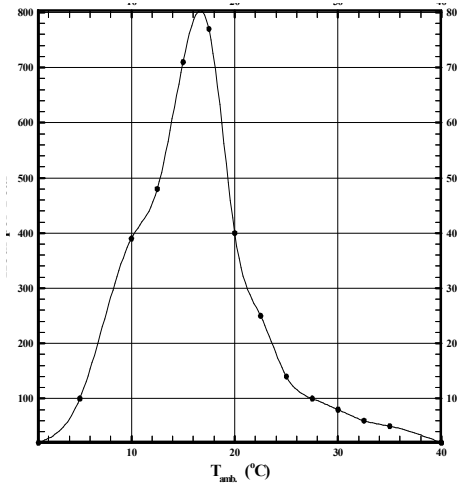
ساعت در سال	دما محيط (°C)
۵۰	۲.۵
۱۰۰	۵
۲۰۰	۷.۵
۳۸۰	۱۰
۵۰۰	۱۲.۵
۷۴۰	۱۵
۷۵۰	۱۷.۵
۴۰۰	۲۰
۲۵۰	۲۲.۵
۱۴۰	۲۵
۸۰	۲۷.۵
۱۰	۳۰

جدول ۳: تغییرات کار مفید توربین بر حسب دمای چگالنده.

دما چگالنده (°C)	کار مفید توربین
۲۰۰	۳۵
۱۹۹.۸	۴۰
۱۹۹	۴۲
۱۹۸	۴۵



شکل ۱۰: فضای هدف در نسل چهارصدم.



شکل ۸: تغییرات دمای محیط در طول سال.

جدول ۴: مقایسه مقادیر به دست آمده از برنامه با یک تابع هدف با مقادیر واقعی برای نیروگاه اصفهان.

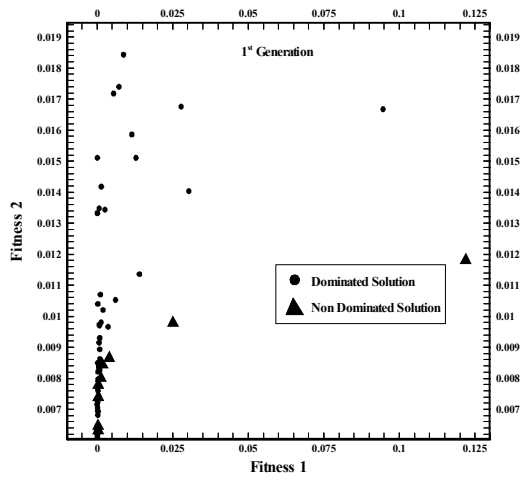
ب - دو تابع هدف

در این قسمت به طراحی براساس داده‌های نیروگاه اصفهان با در نظر گرفتن دو تابع هدف ذکر شده پرداخته‌ایم. در اشکال زیر فضای هدف برای این طراحی در دو نسل مختلف نشان داده شده است که در نهایت در جدول (۵) طرح‌های بهینه مختلفی ارائه گردیده که براساس این دو تابع هدف هیچ کدام بر دیگری برتری ندارد.

جدول ۵: مقادیر به دست آمده از برنامه با دو تابع هدف برای نیروگاه اصفهان.

طرح سوم	طرح دوم	طرح اول	واحد	مشخصه‌های طراحی
۱۵	۱۵	۱۵	متر	ارتفاع دلتا
۶۸.۷	۶۳.۲	۵۹.۴	درجه	زاویه دلتا
۱۱۸	۱۱۴	۱۱۹	تعداد	تعداد دلتا
۱۱۸	۱۱۱	۱۱۲	متر	ارتفاع برج
۱۰۷.۳	۹۲.۸	۹۵	متر	قطر دایره پایه
۶۵	۵۳.۵	۶۱	متر	قطر دهانه خروجی
۱۹۹۴۴.۴	۲۱۹۱۲	۱۶۸۸۶.۱	متر مکعب بر ساعت	دبی آب

تابع هدف-عملکرد	تابع هدف-قیمت	مقادیر واقعی	واحد	مشخصه‌های طراحی
۱۵	۱۵	۱۵	متر	ارتفاع دلتا
۵۶.۹	۵۱.۳	۶۰	درجه	زاویه دلتا
۱۱۹	۱۱۳	۱۱۷	تعداد	تعداد دلتا
۱۱۴	۱۱۰	۱۲۸	متر	ارتفاع برج
۹۱	۷۹	۱۱۰	متر	قطر دایره پایه
۵۴.۲	۵۳	۵۴	متر	قطر دهانه خروجی
۱۸۰۶۴.۲	۱۸۴۵۴.۳	۲۰۹۷۵.۳۱	m^3/h	دبی آب



شکل ۹: فضای هدف در نسل اول.

- زاویه دلتا: ۵/۱۶٪ کاهش
ارتفاع برج: ۱۰/۹۳٪ کاهش
قطر دایره پایه: ۲۰/۸۸٪ کاهش
قطر دهانه خروج: ۰/۰/۴٪ افزایش
دبی آب: ۱۳/۸۸٪ کاهش
- که این کاهش در مقادیر قابل توجه بوده و مؤید ضرورت بهینه سازی برج خنک کن هر می باشد.
- ۶- در بهینه سازی با دو تابع هدف هر چند که به یک جواب واحد نمی رسد ولی خطرپذیری خطای تجزیه و تحلیل قیمت را بسیار کم می کند، و با تعریف دو تابع هدف وابستگی به تجزیه و تحلیل قیمت توربوماشین ها را از دست می دهیم و می توان دبی آن را به صورت شاخصی از قیمت آن در نظر گرفت. در نهایت با یک آنالیز دقیق تر در بخش توربوماشین ها می توان به جواب بهینه دست یافت.
- ۷- در بهینه سازی با چند تابع هدف دسته جوابی که در جدول (۵) به دست آمده است در محدوده ای نزدیک به مقادیر واقعی و بهینه سازی با یک تابع هدف قرار دارد و برای یک طراحی اولیه می توان از تجزیه و تحلیل قیمت تقریبی ارائه شده برای توربوماشین ها استفاده نمود.
- ۸- مبدل های حرارتی به کار رفته در این طراحی و بهینه سازی از نوع فورگو T60 می باشند که امروزه در صنعت، مبدل هایی با راندمان بالا محسوب می شوند. با این حال جا دارد در یک تحقیق جامع تر بهینه سازی خود مبدل ها نیز مورد بررسی قرار گیرد.

نتیجه گیری

با توجه به این که هزینه اجرای برج خنک کن هر کسر قابل توجهی از یک نیروگاه می باشد و هم چنین عملکرد آن اثری مستقیم بر میزان تولید نیروگاه دارد در اینجا با استفاده از الگوریتم ژنتیک بهینه سازی برج هر بر اساس قیمت و عملکرد آن صورت گرفت.

در مقایسه با نیروگاه اصفهان نتایج نشان می دهد که در این بهینه سازی برجی با ابعاد کوچک تر و دبی آب خنک کن کمتر به دست آمده است و با افزایش جزئی در تعداد دلتا ها و تغییر جزئی در زاویه آنها کاهش قابل توجهی در سایر مشخصه های طراحی ایجاد شده است. هم چنین به منظور کاهش خطای تجزیه و تحلیل قیمت در بخش توربوماشین ها که تولید صنعت

قابلیت همگرا شدن بالاتری دارد ولی در اکثر روش های کلاسیک هم گرایی به فرم معادلات و مشتقه ها چنین نقاط شروع یا حدس اولیه وابسته می باشد. علت دیگری که استفاده از الگوریتم ژنتیک را توجیه می کند، بهینه سازی با چند تابع هدف است. در این روش می توان توابع هدف را به صورت جداگانه تعریف نمود، در حالی که در روش های کلاسیک ترکیبی از آنها را به صورت یک تابع هدف واحد در نظر می گیرند و در این ترکیب عملأ توابع هدف واقعی را که مد نظر بوده اند از دست می دهیم.

۲- نتایج حاصل از بهینه سازی بسیار وابسته به تابع قیمت بوده و هر اندازه که تجزیه و تحلیل قیمت دقیق تر باشد، نتایج به دست آمده نیز قابل اطمینان تر می باشد لذا اختلاف های موجود در بین نتایج به دست آمده و مقادیر واقعی می باشد نیز می تواند به همین علت باشد.

۳- در جدول (۴) مقادیر به دست آمده تنها بر اساس تابع هدف قیمت و بدون در نظر گرفتن عملکرد هم ارائه شده اند. همان طور که ملاحظه می شود تعداد مبدل های حرارتی مورد نیاز و قطر پایه برج در مقایسه با حالتی که عملکرد هم در نظر گرفته شده است کمتر به دست آمده اند. به همین علت در بهینه سازی برج خنک کن نمی توان آن را مستقل از چرخه قدرت و تغییرات دمایی محیط فرض کرد و باید ارتباط آن را با این دو قسمت در نظر گرفت که با اعمال منحنی تغییرات دما و منحنی مشخصه توربین به عنوان داده های طراحی این ارتباط برقرار می شود.

۴- در جدول (۴) از مقایسه نتایج حاصل از بهینه سازی بر اساس تابع هدف قیمت- عملکرد و مقادیر واقعی ملاحظه می شود که با افزایش دو واحد دلتا و تغییر زاویه از ۶۰ به ۵۶.۹ درجه توانسته ایم در سایر مشخصه ها به ویژه در ارتفاع برج که ۱۴ متر کم شده است کاهش داشته باشیم. البته لازم به ذکر است که در این بهینه سازی اثر سرعت های بالای باد (بالاتر از ۱۰ متر بر ثانیه) در نظر گرفته نشده است و جا دارد که در مطالعات آتی این مشخصه هم در طراحی لحاظ گردد.

۵- درصد تغییر مشخصه های طراحی در بهینه سازی با در نظر گرفتن تابع هدف قیمت- عملکرد بر اساس جدول (۱) به صورت زیر می باشد:

دلتا: ۱/۷٪ افزایش

عرض	:	W	داخل کشور نمی باشند از الگوریتم ژنتیک دو معیاره استفاده شده است. در پایان می توان گفت که با استفاده از الگوریتم ژنتیک می توان مقادیر بهینه هریک از مشخصه های طراحی یک برج خنک کن را به دست آورد.
توان	:	W	
تعداد طبقات در چگالنده های سری	:	Z	
زاویه، درجه	:	α	
بازده مبدل حرارتی	:	ε	
راندمان	:	η	
افت	:	Δ	سطح : A
ضخامت ، m	:	δ	ظرفیت گرمایی، $W / ^\circ C$: C
چگالی، kg / m^3	:	ρ	ضریب تصحیح : C_k
روطوبت نسبی	:	ψ	هزینه، دلار : C
زیر نویس ها			
هوای	:	a	قطر، m^2 : D
پایه	:	b	تعداد ردیفهای دلتا : E
شار سرد	:	c	ضریب اصطکاک : f
بتن	:	ct	شتاب جاذبه، m / s^2 : g
دلتا	:	d	ارتفاع، m : H
خروجی	:	e	ضریب انتقال حرارت، $w / m^2.k$: h
پره	:	f	اختلاف دمای اولیه، $^\circ C$: ITD
مقابل	:	fr	ضریب هدایت حرارتی، $w / m^\circ C$: k
شار گرم	:	h	دبی جرمی، kg / s : \dot{m}
ورودی	:	i	تعداد : N
کرکره	:	l	تعداد واحدهای انتقال : NT
خروجی	:	o	عدد نوسلت : Nu
گلوگاه	:	t	فشار، Pa : P
آب	:	w	میزان انتقال حرارت، W : \dot{Q}
			عدد رینولدز : Re
			درجه حرارت، $^\circ C$: T
			ضریب انتقال حرارت کلی، $w / m^2.^\circ C$: U

مراجع

- 1 - El-Wakil, M. M. (1985). *Power Plant Technology*. McGraw-Hill.
- 2 - *The Heller System*. (1984). EGI, Budapest.
- 3 - *Description of the Main Cooling System*. (1984). EGI, Budapest.
- 4 - *Know How Documents*. (1984). Ref. No. 8428 LK., EGI, Budapest.
- 5 - Incropera, F. P. and DeWitt, D. P. (2002). *Introduction to Heat Transfer*. Fourth Edition, John Wiley and Sons.
- 6 - Holman, J. P. (1986). *Heat Transfer*. McGraw-Hill.
- 7 - Crocker and King (1985). *Piping Handbook*. Fifth Edition, Mc Graw Hill.
- 8 - Conradie, A.E. and Kroger, D.G. (1996). "Performance evaluation of dry-cooling systems for power plant applications." *Applied Thermal Engineering*, Vol. 16, No. 3, PP. 219-232.

- 9 - Propper, H. and Welsch (1980). *Wind Pressure on Cooling Tower Shells*. Ruhr University, Germany.
- 10 - Keys, W. and London, A. L. (1984). *Compact Heat Exchangers*. Third edition, McGraw Hill.
- 11 - *Optimization of Main Cooling System*. (1996). Ref. No. MP-MGC-PD-07-DGO-001., EGI, Budapest
- 12 - Buys, J. D., Kroger, D. G. and Conradie, A. E. (1998). "Performance optimization of dry-cooling systems for power plants through SQP methods." *Applied Thermal Engineering*, Vol. 18, Nos. 1-2, PP. 25-45.
- 13 - Coley, D. A. (1999). *An Introduction to Genetic Algorithms for Scientists and Engineers*. World Sceintific Publishing.
- 14 - Mitchell, M. (2002). *An Introduction to Genetic Algorithms*, MIT Press.
- 15 - Deb, K. (2001). *Multi-Objective Optimization Using Evolutionary Algorithms*. John Wiley and Sons.
- 16 - Barbosa, Helio J.C. and Lemonge, Alfonso C.C. (2003). "A new adaptive penalty scheme for genetic algorithms." *Information Sciences*, Vol. 156, P.P. 215-251
- 17 - Kim, H., Mun, K.J., Park, J.H. and Hwang, G. (2001). "Application of real-type tabu search function optimization problems." *IEEE*.
- 18 - Tan, K.C., Lee, T.H. and Khor, E.F. (2001). "Incrementing multi-objective evolutionary algorithms: performance studies and comparisons." *Proceedings of the First International Conference on Evolutionary Multi_criterion Optimization (EMO-2001)*, PP. 111-125.
- 19 - Zitzler, E., Deb., K. and Thiele, L. (2000). "Comparison of multiobjective evolutionary algorithms: empirical Results." *Evolutionary Computation Journal*. Vol. 8, No. 2, PP. 125-148.
- 20 - Grefenstette, J.J. (1986). "Optimization of control parameters for genetic algorithms." *IEEE Transactions on Systems, Man and Cybernetics*, Vol. 16, No.1, PP. 122-128.
- 21 - Bäck, T. (1992). "The interaction rate of mutation rate, selection, and self-adaptation within a genetic algorithm." *Proceedings of Parallel Problem Solving from Nature II (PPSN-II)*, PP. 85-94.

واژه های انگلیسی به ترتیب استفاده در متن

- 1 - Cross Flow
2 - Counter Flow